

INTERSTELLAR ABSORPTION AND SPATIAL DISTRIBUTION  
OF STARS AROUND THE NGC6802

N.G.GUSEVA, M.D.METREVELI

(Summary)

Interstellar absorption and spatial distribution of stars around the open cluster NGC6802 of 18.4 square degrees are studied.

The region in question is divided into 6 areas of different absorption. On the average, the strongest absorption clouds are arranged within 300-700 pc for the whole area. Besides, one can notice that the absorption begins much farther (500 pc) for the areas above the galactic plane than it does for those below (100 pc) it.

The spatial distribution shows that the densities in all cases fall after 500 pc. The luminosity function estimated conforms well to the standard one.

- Цитированная литература
1. Колесник Л.Н. Бюл. абастум. астрофиз. обс. 1965, 33, 41.
  2. Метревели М.Д., Кузнецов В.И. Бюл. абастум. астрофиз. обс. 1976, 48, 123.
  3. Ворошилов В.И., Гусева Н.Г., Каландадзе Н.Б., Колесник Л.Н., Кузнецов В.И., Метревели М.Д., Хейло Э.С. Каталог в величин и спектральных классов 18000 звезд. Киев. 1976.
  4. Fitzgerald W. Pim. astron. J. 1968, 73, N10, p.1, 983.
  5. Neckel Th. Zs.f.Astroph. 1966, 63, 4, 221.
  6. Neckel Th. Landessternwarte Heidelberg-Königstuhl Veröffentlichungen. 1967, 19.
  7. Григорьева Н.Б. Сообщ. ГАИШ. 1970, 162, 3.
  8. Шиморова А.В. Изв. Крым. астрофиз. обс. 1958, XIX, 189.
  9. Simonson S.K. Aph.J. 1968, 154, N3, p.1, 923.
  10. Метревели М.Д. Бюл. Абастум. астрофиз. обс. 1975, 46, 59.
  11. Isobe S. Publ. Astr. Soc. Japan. 1968, 20, 52.
  12. Boulon J.J. Journ. des Obs. 1963, 46, N10-11, 225.
  13. М.Лис Ф. Статистические методы. 1958, 50.
  14. Rhijn P.J. van. Publ. Kapteyn Astr. Lab. Groningen. 1936, N47.
  15. McCuskey S.W. Aph.J. 1956, 122, 12, 458.
  16. McCuskey S.W. Vistas in Astronomy. 1966, 7, 141.

ДОЖДОВОГО ЗЕМЛЯНОУДОБНОГО ПОДСЕКУЩИХОГО ВОДОСХОДА № 48, 1977  
БЫЛЕДЕЛЬ АБАСТУМСКОЙ АСТРОФИЗИЧЕСКОЙ ОБСЕРВАТОРИИ № 48, 1977

МЕЖЗВЕЗДНОЕ ПОГЛОЩЕНИЕ СВЕТА И ПРОСТРАНСТВЕННОЕ  
РАСПРЕДЕЛЕНИЕ ЗВЕЗД В ОБЛАСТИ ВОКРУГ СКОПЛЕНИЯ  
NGC6823

М.Д.МЕТРЕВЕЛИ, В.И.КУЗНЕЦОВ\*)

Избранное направление характерно тем, что луч зрения в нем идет вдоль внутренней стороны Местной спиральной ветви [I-3]. Исследованная область площадью 18.4 кв. градуса, в центре которой находится открытое звездное скопление NGC6823, расположена вблизи галактического экватора:

$$\alpha = 19^{\text{h}}41^{\text{m}}5, \quad \delta = +23^{\circ}13' \\ l = 59^{\circ}4, \quad b = -1^{\circ}$$

Межзвездное поглощение света в градусной площадке вокруг скопления NGC6823 было исследовано ранее в работе [4] согласно плану [5]. В расширение этого плана были получены фотометрические и спектральные характеристики звезд в области диаметром около пяти градусов [6].

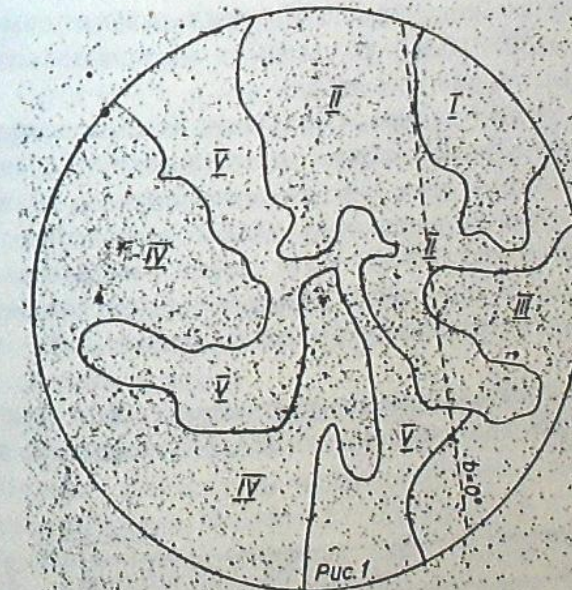


Рис.1

При определении B,V величин звезд (система UVB) был использован наблюдательный материал, полученный на двухкамерном астрографе Главной астрономической обсерватории АН УССР.

\*) Главная астрономическая обсерватория АН Украинской ССР.

мической обсерватории АН Украинской ССР. Спектральная классификация звезд проведена по спектрограммам, снятых с абастиуманским 70-см менисковым телескопом и 8°-ой и 4°-ой предобъективными призмами (дисперсия 166 и 666 Å/мм у  $H_1$ , соответственно).

Методика изучения распределения межзвездного вещества и звезд в пространстве такая же, как и в работе [7].

**Межзвездное поглощение света.** Основой для изучения межзвездного поглощения света послужили  $V, V$  величины и спектральные классы I-IV звезд из каталога [6].

Исследованная область была разбита на пять участков с одинаковым поглощением (рис. 1). На рис. 2 приведены кривые поглощения с расстоянием для каждого из пяти участков области.

Во всех участках поглощение начинается на расстояниях 70-100 пс от Солнца. В первом участке поглощение начинается на расстоянии 70 пс, его величина при этом составляет 0.2 и остается почти без изменения до  $r = 340$  пс. В пределах расстояний 340-760 пс находится комплекс облаков межзвездного вещества: поглощение возрастает и достигает 2.6 зв. величины.

Во втором участке поглощение начинается со 100 пс. В пределах расстояний 100-560 пс расположен комплекс пылевых облаков. В нем можно выделить одно плотное облако на расстоянии 100-200 пс, плотность 7.0/кпс, и другое, в пределах расстояний от 500 до 570 пс, плотность 18.0/кпс.

В третьем участке выделяются два плотных пылевых облака на расстояниях 90-130 пс и 360-460 пс; их плотности составляют соответственно 12.5 и 14.0 зв. вел. на один килопарсек.

В четвертом участке выделение отдельных пылевых облаков затруднительно. Поглощение в участке плавно растет и на  $r = 640$  пс достигает 2.2 зв. вел. Наконец, в пятом участке можно уверенно выделить плотные пылевые образования на расстояниях 450-540 пс с плотностью 12/кпс.

Начиная с расстояний 600-700 пс от Солнца исследуемая область практически свободна от поглащающей материи. Средний коэффициент поглощения в пределах расстояний 600-2000 пс составляет 0.5 - 0.7 зв. вел. на один килопарсек.

В таблице I приведены данные о плотностях поглащающих облаков, выраженных в звездных величинах на один кпс, для каждого из пяти участков области.

Таблица I

I участок	II участок	III участок	IV участок	У участок			
$r$ пс	$d^m/\text{kpc}$	$r$ пс	$d^m/\text{kpc}$	$r$ пс	$d^m/\text{kpc}$	$r$ пс	$d^m/\text{kpc}$
0-340	0.7	100-200	7.0	90-130	12.5	0-70	0.0
340-760	5.5	200-300	0.0	130-360	0.0	70-420	3.6
760-2100	0.4	300-500	4.0	360-460	14.0	420-640	5.0
		500-570	18.0	460-720	0.0	640-2000	5.0
		700-1050	5.1	720-2500	0.6	640-2000	0.7
		1050-1950	0.4			540-1370	0.6

Вычисления ошибок в поглощении и расстояниях до звезд проводились аналогично работе [8]. Полученные значения ошибок представлены в виде таблицы 2.

На рис. 2(I-U) в каждой из средних точек кривых вычислены и обозначены ошибки определения  $A_V$  и  $r$ .

Данные о распределении поглащающей материи в исследованном направлении были сопоставлены с результатами работы Г.Л. Федорченко [4], полученными для градусной площадки вокруг центра исследуемой области. Для сравнения мы использовали кривые поглощения в I и U участках области, частично входящих в градусную зону. В работе [4] величина поглощения на расстоянии 500 пс составляет 1.8 зв. величины. Среднее значение величины поглощения для I и U участков области составляет 2.0 зв. вел. На расстоянии одного кпс сравниваемые значения равны 2.6 и 2.8 зв. вел., соответственно. Согласно обоим исследованиям поглощение межзвездным веществом начинается с 70 пс. Все это говорит о хорошем согласии сопоставленных данных. Небольшие различия в поглощении, вероятно, объясняются тем, что кривые I и U участков включают звезды, выходящие за пределы градусной зоны.

Сопоставление значений поглощения на расстояниях больших 1 кпс, в общем, согласуются с результатами работы Н.Б. Григорьевой [9]. На расстояниях до 1 кпс поглощение по данным работы [9] растет медленнее, чем в нашем случае.

Значения величины поглощения по данным Фитцджеральда [10] на расстояниях 0.5, 1 и 2 кпс составляют соответственно 1.6, 3.0 и 3.0 зв. вел., что находится в хорошем согласии с нашими данными.

**Пространственное распределение звезд.** Таблица 3 содержит данные о пространственных плотностях звезд различных спектральных классов. Плотности вычислены в количестве звезд на 1000 пс<sup>3</sup>. Пределы полного охвата в таблице подчеркнуты.

На рис. 3 приведены гистограммы плотностей звезд O-B2, B3-B5, B7-B9, A0-A2 и A3-A9.

На диаграммах Шмидт-Калера [1], Беккера [2], и Картиса [3] видно, что луч зрения в исследованном направлении проходит вдоль внутреннего края Местной спиральной ветви.

Звезды O-B2 в исследованном направлении составляют небольшую часть от общего числа в области - всего 29 звезд, поэтому их плотность низка по сравнению с плотностями звезд других спектральных классов (рис. 3). В направлении на Местную спиральную ветвь [11] плотность O-B2 звезд в среднем почти на порядок выше, чем в исследованном направлении. Наблюдательный материал позволил нам охватить все звезды до 12.0 в визуальных лучах., поэтому расстояние полного охвата O-B2 звезд составляет около 2 кпс. На больших расстояниях данные таблицы занижены.

Сравнение с результатами [12] подтверждает реальность полученных значений таблицы 3: плотности звезд различных спектральных классов одного порядка.

Таблица 2

I участок						II участок						
$E_{B-V}$	n	$b\lambda_v$	$b\lambda_v/\mu$	r	$b^r b\lambda/\mu$	$E_{B-V}$	n	$b\lambda_v$	$b\lambda_v/\mu$	r	$b^r b\lambda/\mu$	
0.07	4	0.235	0.II	80	I0	5	0.00	25	0.234	0.05	80	I0
0.07	6	0.235	0.I0	I50	I9	8	0.12	82	0.237	0.03	I50	I9
0.08	7	0.235	0.09	200	26	I9	0.23	24	0.244	0.05	205	27
0.08	8	0.235	0.08	260	34	I4	0.23	25	0.244	0.05	260	34
0.10	II	0.236	0.07	350	45	I4	0.27	25	0.248	0.05	310	40
0.30	I7	0.251	0.06	410	53	I3	0.33	27	0.254	0.05	355	46
0.48	I0	0.275	0.08	520	69	I2	0.40	24	0.263	0.05	490	54
0.73	6	0.321	0.13	605	82	34	0.50	74	0.278	0.03	710	81
0.84	4	0.344	0.17	760	I05	52	0.97	I7	0.374	0.09	570	65
0.84	3	0.344	0.20	III0	I54	90	I.00	I6	0.380	0.09	710	I01
I.07	7	0.397	0.15	2080	300	I15	I.10	20	0.405	0.09	850	I23
							I.25	5	0.442	0.20	I040	I55
							I.27	2	0.447	0.32	I270	I90
							I.48	5	0.502	0.23	I930	302
											I37	
III участок						IV участок						
$E_{B-V}$						$E_{B-V}$						
0.00	I0	0.234	0.07	80	I0	3	0.03	I2	0.234	0.07	90	I2
0.15	28	0.238	0.04	I30	I7	3	0.08	36	0.235	0.04	I30	I7
0.17	53	0.240	0.03	230	30	4	0.17	39	0.240	0.04	I75	23
0.18	II	0.240	0.07	370	48	I4	0.20	49	0.242	0.03	215	35
0.33	28	0.254	0.05	400	52	I0	0.20	49	0.242	0.03	270	41
0.64	I9	0.303	0.07	460	62	I4	0.27	40	0.248	0.04	315	46
0.64	I0	0.303	0.09	630	85	26	0.33	38	0.254	0.04	355	55
0.67	7	0.309	0.12	720	97	37	0.34	70	0.255	0.03	420	76
0.73	4	0.321	0.16	825	II2	56	0.60	I09	0.295	0.03	570	I3
0.80	9	0.335	0.11	990	I36	45	0.73	47	0.321	0.05	640	I28
0.90	I0	0.357	0.11	I600	224	70	0.73	46	0.321	0.05	825	I22
I.10	4	0.405	0.20	2450	355	I77	0.80	I8	0.335	0.08	930	I28
							0.87	30	0.351	0.06	I080	I50
							I.00	I0	0.381	0.12	I290	I84
							I.10	5	0.405	0.18	I590	230
							I.33	7	0.462	0.18	2270	344
											I32	
У участок												
$E_{B-V}$												
0.03	6	0.234	0.I0	70	I8	9	4					
0.10	I0	0.236	0.07	I25	25	34	6					
0.20	32	0.242	0.04	I40	18	I4	8					
0.20	54	0.242	0.03	I90	25	I2						
0.22	33	0.243	0.04	260	35	I4						
0.34	23	0.255	0.05	270	35	I4						
0.43	21	0.263	0.05	325	43	I2						
0.50	I7	0.267	0.06	380	50	I8						
0.63	28	0.278	0.07	440	58	I2						
0.77	20	0.301	0.05	465	62	I5						
0.87	I8	0.329	0.07	485	66	I8						
I.00	25	0.351	0.08	540	75	I8						
I.20	6	0.429	0.18	I600	236	98						

## Межзвездное поглощение света и пространственное ... NGC 6823

$r/\text{pc}$	$D(r)$	$n$											
100	2	I.0101	3	0.2165	8	0.5772	46	3.3190	53	3.8239	125	9.7402	35
200	I	0.0266	2	0.0532	I2	0.3190	I3	0.3456	I5	3.0569	43	1.2130	8
300		4	0.0546	20	0.2720	44	0.6005	33	0.4504	54	0.7370	8	0.2127
400			4	0.1331	28	0.2318	53	0.4288	7	0.0579	22	0.1821	II
500				15	0.0833	41	0.2225	43	0.2386	2	0.0111	2	0.0166
600				200	0.0480	I1	0.0437	24	0.0954	I	0.0040	2	0.0331
700				800	2	0.0060	3	0.0090	20	0.0597	I	0.0030	2
900				900	I2	0.0279	5	0.0116	2	0.0046	2	0.0060	4
1000				1000	I	0.0119	4	0.0075	I	0.0019	2	0.0037	I
1100				1100	I	0.0038	I	0.0013	2	0.0025	I	0.0019	I
1200				1200	I	0.0011	2	0.0022	I	0.0011	I	0.0013	I
1300				1300	I	0.0009	I	0.0008	I	0.0009	I	0.0009	I
1400				1400	I	0.0008	I	0.0009	I	0.0009	I	0.0008	I
1500				1500	I	0.0007	I	0.0005	I	0.0006	I	0.0007	I
1600				1600	I	0.0005	I	0.0005	I	0.0005	I	0.0005	I
1700				1700	I	0.0005	I	0.0005	I	0.0005	I	0.0005	I
1800				1800	I	0.0005	I	0.0005	I	0.0005	I	0.0005	I
1900				1900	I	0.0008	I	0.0008	I	0.0008	I	0.0004	I
2000				2000	I	0.0020	I	0.0020	I	0.0020	I	0.0004	I
2100				2100	I	0.0003	I	0.0003	I	0.0003	I	0.0003	I
2200				2200	I	0.0003	I	0.0003	I	0.0003	I	0.0003	I
2300				2300	I	0.0003	I	0.0003	I	0.0003	I	0.0003	I
2400				2400	I	0.0003	I	0.0003	I	0.0003	I	0.0003	I
2500				2500	I	0.0002	I	0.0002	I	0.0002	I	0.0002	I
2600				2600	I	0.0002	I	0.0002	I	0.0002	I	0.0002	I
2700				2700	I	0.0004	I	0.0004	I	0.0004	I	0.0004	I
2800				2800	I	0.0004	I	0.0004	I	0.0004	I	0.0004	I
2900				2900	I	0.0004	I	0.0004	I	0.0004	I	0.0004	I
3000				3000	I	0.0004	I	0.0004	I	0.0004	I	0.0004	I
3200				3200	I	0.0004	I	0.0004	I	0.0004	I	0.0004	I

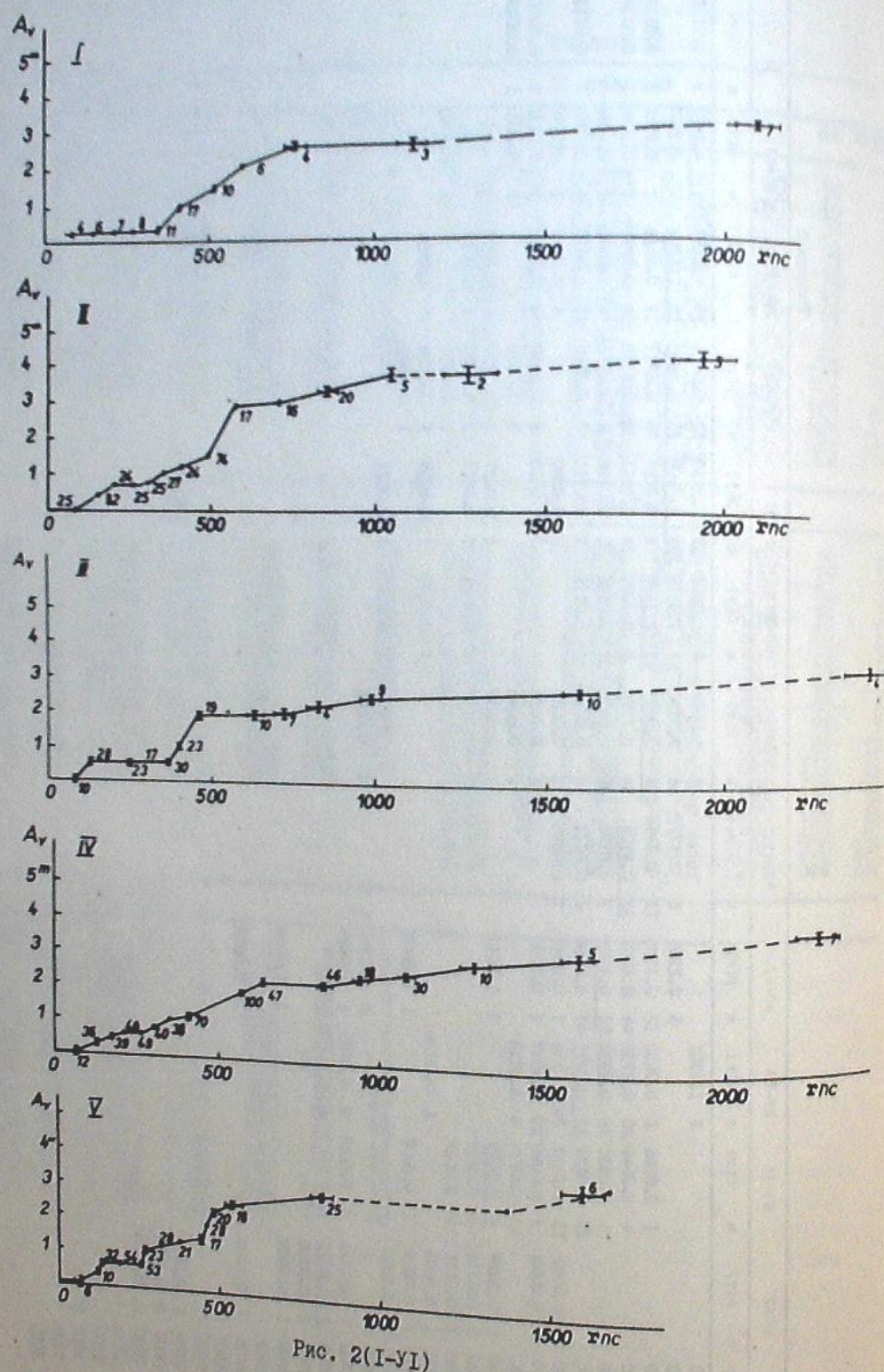


Рис. 2(I-V)

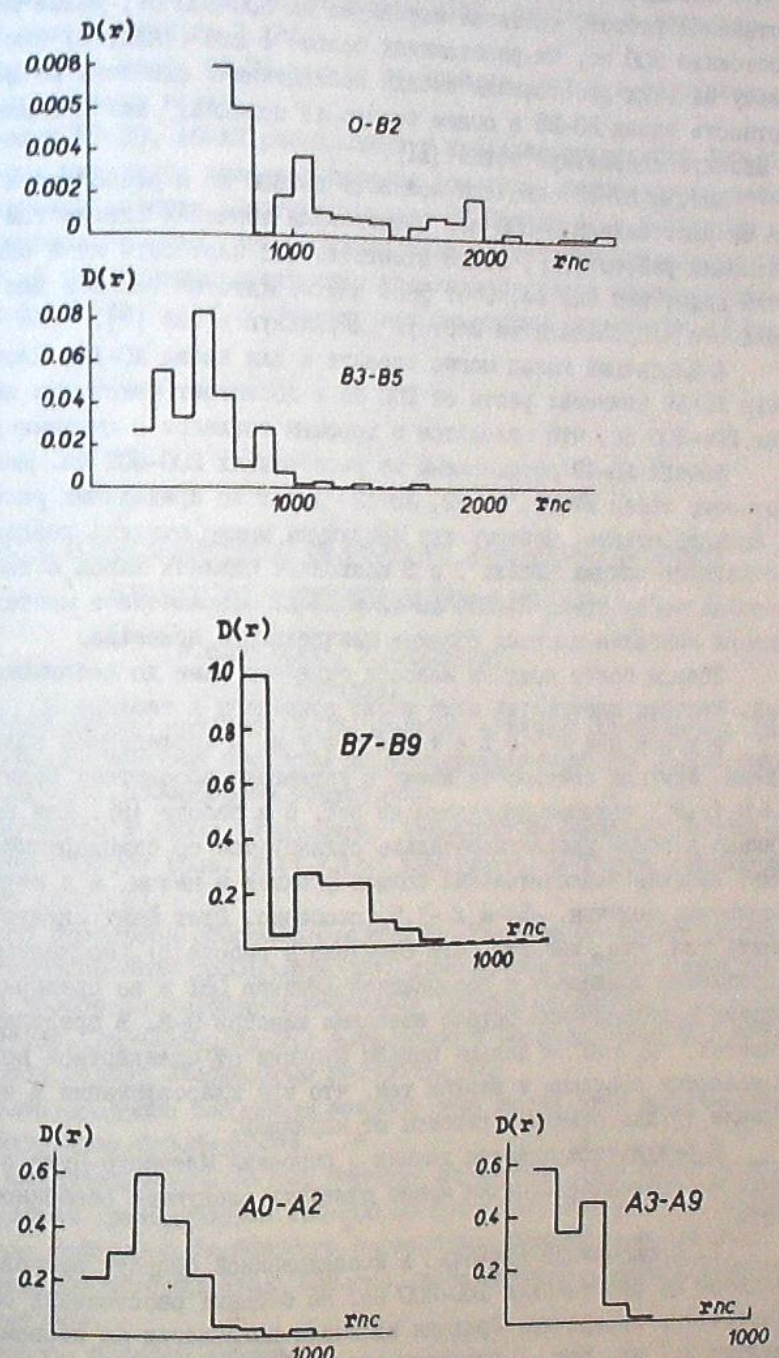


Рис. 3

Звезды B3-B5 до 200 пс отсутствуют (рис. 3), затем их плотность постепенно растет, достигая максимума на 500-600 пс, далее падает на расстояниях 900 пс. На расстояниях больше 1 кпс (табл. 3) она мала, поскольку на этих расстояниях звезды наблюдениями охвачены не полностью. Плотность звезд B3-B5 в общем такого же порядка, как и в направлении на Местную спиральную ветвь [II].

Звезды B7-B9 охвачены полностью до 600 пс и расположены в основном на расстояниях 0-500 пс. Сопоставляя значения плотностей этих звезд с данными работы [II], можно отметить, что плотность их в спиральной ветви ниже, чем вне ее. Этот факт подтверждается также и для антицентрального направления на Местную спиральную ветвь [7].

Аналогичный вывод можно сделать и для звезд A0-A2. Плотность звезд A0-A2 начинает расти от 200 пс и достигает максимума на расстояниях 200-400 пс, что находится в хорошем согласии с данными работы [9].

Звезды A3-A9 расположены на расстояниях 200-500 пс. Максимумы плотности звезд B7-B9, A0-A2, A3-A9 лежат до предельных расстояний их полного охвата, поэтому эти максимумы можно считать реальными. Сопоставление данных таблиц I и 3 позволяет сделать вывод о том, что основная масса звезд B7-B9, A0-A2 и A3-A9 заключена в местах расположения наиболее плотных облаков межзвездного вещества.

Звезды более поздних классов охвачены нами до небольших расстояний. Расчеты плотностей этих звезд приведены в таблице 3.

**Функция светимости.** В исследуемой области определена функция светимости звезд в интервале абсолютных величин  $-5 \leq M_v \leq +8$ , которая приведена на рис. 6 в работе [8]. Как видим, функция в общем удовлетворительно согласуется со стандартными кривыми; заметен незначительный подъем функции в целом, а в интервале абсолютных величин  $-5 \leq M_v \leq -1.5$  — особенно. Этот факт следует объяснить тем, что, как уже было отмечено в работе [8], исследуемое направление совпадает с ассоциацией Лисичка OBI и по сравнению с другими направлениями богаче звездами классов 0-В. В пределах светимостей  $M_v > +3^m$  и дальше подъем функции от стандартной возможен не является реальным и вызван тем, что при классификации в этом интервале трудно отделять гиганты от карликов.

В результате анализа данных о строении Млечного Пути в направлении на созвездие Лисички можно отметить следующие особенности области.

1. Поглощающее вещество в исследованной области расположено в основном на расстояниях 100-600 пс. На больших расстояниях область практически прозрачна. Средняя величина поглощения на первом кпс составляет 3.1 зв. вел. В различных участках выделены пылевые образования, плотность которых в отдельных случаях достигает 12-18<sup>m</sup>/кпс.

2. Исследованное направление характерно тем, что луч зрения в нем идет вдоль внутреннего края Местной спиральной ветви. Звезды 0-В2 немногочисленны, их плотность на порядок ниже, чем в направле-

ния на Местную спиральную ветвь [II]. Плотность нейтрального водорода как по данным [13], так и по новым данным [14], повышена в этом направлении на расстояниях до 2 кпс.

3. Плотность звезд B3-B5 такого же порядка, как и в направлении на Местную спиральную ветвь.

4. Звезды B7-B9, A0-A2 расположены в пределах расстояний 100-600 пс, на которых находятся наиболее плотные комплексы межзвездного вещества в исследуемой области. Плотность звезд B7-B9, A0-A2 в изученном направлении значительно выше, чем в направлении на Местную спиральную ветвь.

5. Общий вид функции светимости удовлетворительно согласуется со стандартной функцией, хотя и обнаруживает некоторые отклонения от нее.

Май, 1976.

ИПБАФСО СО РАН УДК 539.2'767.015.85

МЯБЕБСО СО СО РАН УДК 539.2'767.015.85

8.05.00.00.00.00

(РГБОУД)

NGC6823 გროვის განმეომი 18 კლ. ტრაქუსი ფართობის მეზე არები შესაცვლილი კარსკერავების მანამება და კარსკერავების სიცრული განაწილება 1779 კარსკერავის მონაცემების საფუძველი.

არე რაოდიტია 5 უბნარ. მოყვანილია კოტურური შეანამდების მანილება რამიერებულის მრუები (ნახ. 2 (I-V)) და კარსკერავების სიცრული განაწილების ქისფორამები (ნახ. 3).

მიღებული შეკედების ანალიზის საფუძველებელი შეიძლება არინიმოს გამოსაკვლევი მიმართულების რიგი მახასიათებელი. კერძო, მშენანდებული ნივთიერება მამოსაკვლევ უბანი განცალებულია მირიარად 100-600 კს მანილება. საუკალი შეანამდება პირველ კოროპარსეულებაზე 3,1 კარსკერავის სიფიქს შეაგრებს. უფრო მანილებაზე სიცრული პრატიკულია გამდევნებულია.

0-В2 კარსკერავის სიმკერივე თითოების უფრო უფრო დაბარია, ვიზუალური არილობრივი მფოს მიმართულებით.

B3-B5 სიცრულეები ისეთივეა, რომელიც არილობრივ მფოს მიმართულებით. B7-B9, A0-A2 კარსკერავი 100-600 კს მანილებას შერჩეს არიან განაკვები, სარაც მირიარად შეანამდებული ნივთიერებას მომავსებული. ამასთან მათ სიმკერივეები მნიშვნელოვნარ მარატია, უფრო არეული კლასების სიმკერივეების შეარებით.

გამომდინარე ნამდის ფუნქცია.

INTERSTELLAR ABSORPTION OF LIGHT AND SPATIAL  
DISTRIBUTION OF STARS AROUND THE NGC6823

M.D.METREVELI, V.I.KUZNETSOV

(Summary)

Interstellar absorption and spatial distribution of stars were studied in the region of 18 square degrees around the NGC6823 on the basis of the data related to 1779 stars.

The region in question was divided into 5 areas (Fig.1). The curves of visual absorption depending on the distance and the histograms of spatial distribution of stars are shown in figures 2 (I-V) and 3, respectively.

In terms of the analysis of the results obtained one can note quite a number of characteristics of the region under consideration. Namely, the absorbing matter falls within 100-600 pc in this region. The average value of the absorption amounts to 3.1 mg at the first kpc. Further the space is essentially transparent.

The density of O-B2 stars is almost an order lower than it is towards the Local arm, while those of B3-B5 stars are the same.

B7-B9, A0-A2 stars arrange mainly within 100-600 pc, where there are some dense clouds. Besides their densities are rather high.

The luminosity function is constructed for the region in question (Fig.6 in [8]).

ЦИТИРОВАННАЯ ЛИТЕРАТУРА

1. Schmidt-Kaler Th. Trans. Int. Astron. Union. 1964, 12B, 416.
2. Becker W. and Fenkart R. Basel Symposium. 1970, №38, 205.
3. Courtes C. Vistas in Astronomy, ed. A. Beer. 1973, 14, 81.
4. Федорченко Г.Л. Астрометрия и астрофизика. 1969, 8, 62.
5. Колесник Л.Н. Бюлл. Абастум. астрофиз. обс. 1965, 33, 41.
6. Ворошилов В.И., Гусева Н.Г., Каландадзе Н.Б., Колесник Л.Н., Кузнецов В.И., Метревели М.Д., Хейло Э.С. Каталог BV величин и спектральных классов 18000 звезд. Киев. 1976.
7. Каландадзе Н.Б., Колесник Л.Н., Кузнецов В.И. Бюлл. Абастум. астрофиз. обс. 1971, 40, 39.
8. Гусева Н.Г., Метревели М.Д. Бюлл. Абастум. астрофиз. обс. 1976, 48, II3.
9. Григорьева Н.Б. Сообщ. ГАИШ. 1970, № 162, 3.
10. Fitzgerald M. Pim. Astron. J. 1968, 73, №10, p.1, 983.
11. Колесник Л.Н. Астрометрия и астрофизика. 1970, 9, 23.
12. McCuskey S.W. Aph. J. 1956, 123, №3, 456.
13. Van de Hulst C., Muller C.A., Oort J.H. Bull. of the Astr. Inst. of the Netherlands. 1954, 12, 117 (N52).
14. Verschuur G.L. Astron. and Astrophys. 1973, 27, №1, 73.

О СТРУКТУРЕ СТАРОГО РАССЕЯННОГО СКОПЛЕНИЯ NGC 2420

Г.Н.САЛУКВАДЗЕ

Галактическое скопление NGC 2420 ( $\alpha = 7^{\text{h}}32^{\text{m}}5\text{s}$ ,  $\delta = +21^{\circ}48'$ , I950) по классификации Р.Тремпера [1] принадлежит к скоплениям с умеренным числом звезд и имеет ярко выраженное ядро. Расстояние до скопления и диаметр же - 6'.

Ван ден Берг [2] первым указал, что скопление NGC 2420 вероятно старое, поскольку оно находится далеко от галактической плоскости, и его функция светимости похожа на функцию M 67.

Фотометрические исследования [3,4,5,6] галактического скопления NGC 2420 показали, что оно сильно похоже на NGC 752 и его возраст равен приблизительно  $10^9$  лет. Диаграмма "цвет-величина" содержит богато представленную, почти вертикальную ветвь гигантов, изгибающуюся в верхней части в красную сторону, несколько "голубых бродяг", слабо населенную горизонтальную ветвь и богато населенную главную последовательность. Для модуля расстояния получено значение  $11^{\text{m}}.9 \pm 0^{\text{m}}.2$ , а для радиуса скопления значение не меньше чем 5 pc.

Поскольку фотометрическому исследованию подвергалось только ядро скопления в диаметре до 12 дуговых минут, то мы поставили себе задачу определить звездные величины звезд в системе U, B, V как в центральной части скопления, так и на его периферии, и использовать полученные данные для обсуждения диаграммы "цвет-величина".

Звездные величины и показатели цвета в системе U, B, V нами были определены в поле диаметром до  $2^{\circ}24'$ , на основе фотографического наблюдательного материала, полученного на 2-метровом универсальном телескопе Таутенбургской обсерватории (ГДР) и любезно предоставленные нам профессором Н.Рихтером.

Всего для 2071 звезды были определены V, (B-V) и (U-V). В том числе 143 звезды принадлежат к ядру скопления, а 1290 - к его короне, 637 звезд же являются звездами фона.

Средние квадратические ошибки каталога для величин U, B, V оказалось равными  $\pm 0^{\text{m}}.04$ ;  $\pm 0^{\text{m}}.03$ ;  $\pm 0^{\text{m}}.05$ , соответственно.

Каталог звездных величин и показателей цвета скопления NGC 2420 будет опубликован отдельно в ближайшее время.

В настоящей статье рассмотрена структура скопления NGC 2420. Подсчеты звезд в области скопления NGC 2420 проводились по пластинке № 2156, полученной на двухметровом универсальном телескопе Таутенбургской обсерватории.